



NATA LIGHTING CO.,LTD.
www.nata.cn
Email:info@nata.com
Tel:+86-750-3770000 Fax:+86 750 3771111
Address:380JinOu Road,GaoXin Zone,Jiang Men City,Guangdong,China

NT

Client: NT

LumCAT: 1-1544-L & 92.70.395.00

Luminaire: 92.70.457.00 LED HOLDER

Report No: 20241114-B005

Ballast type: AC

Test No: 20241114-C005

Voltage(V): 34.930

LampCAT: PHILIPS SLM 1202 L06 G7

Current(A): 0.160

Lamp flux(lm): 782.0

Power (W): 5.588

Number of Lamps: 1

PF: 0.000

Length(mm): 35

Width(mm): 35

Phm Type: C

Height(mm): 24

Photometric Results

Lumens(lm): 714.23, Efficiency(%): 91.33% , Luminous Efficacy(lm/W): 127.82

Central intensity(cd): 2312.429, Maximum intensity(cd): 2312.429

Angle of maximum intensity: C=0.0 γ =0.0

Beam Angle(50%Imax): [C0/180]Total=27.8

[C90/270]Total=27.8

Field angle(10%Imax): [C0/180]Total=56.8

[C90/270]Total=56.8

Maximum s/h(1/2): C0_180=0.46 C90_270=0.46

Maximum s/h(1/4): C0_180=0.48 C90_270=0.48

Up flux rate of lamp(%): 0.00%

Down flux rate of lamp(%): 91.33%

Up flux rate of LUM(%): - -

Down flux rate of LUM(%): 100.00%

CIE Type : Direct lighting

Output flux ratio in π solid angle : 98.043%

Equipment: GMS1980
Temperature(°C): 25.0

Date: 2024/11/14
Humidity(%): 60.0%

Operator: NT07
Distance(m): 7.65

$\gamma(^{\circ})$	Average I(cd)	Zonal F(lm)	Sum F(lm)	Eff Flux(%)	Eff Sum(%)
0.0	2312.429	0.000	0	0.00%	0.00%
1.0	2303.943	2.209	2.209	0.28%	0.31%
2.0	2281.851	6.582	8.791	0.84%	1.23%
3.0	2244.762	10.826	19.617	1.38%	2.75%
4.0	2192.385	14.853	34.47	1.90%	4.83%
5.0	2136.934	18.625	53.094	2.38%	7.43%
6.0	2063.928	22.077	75.171	2.82%	10.52%
7.0	1985.581	25.135	100.306	3.21%	14.04%
8.0	1883.605	27.691	127.997	3.54%	17.92%
9.0	1767.877	29.593	157.59	3.78%	22.06%
10.0	1654.782	30.974	188.564	3.96%	26.40%
11.0	1508.147	31.604	220.168	4.04%	30.83%
12.0	1361.833	31.373	251.541	4.01%	35.22%
13.0	1238.570	30.860	282.401	3.95%	39.54%
14.0	1149.140	30.562	312.964	3.91%	43.82%
15.0	1047.326	30.154	343.118	3.86%	48.04%
16.0	946.872	29.221	372.339	3.74%	52.13%
17.0	831.612	27.696	400.034	3.54%	56.01%
18.0	750.310	26.082	426.117	3.34%	59.66%
19.0	675.796	24.811	450.928	3.17%	63.13%
20.0	608.012	23.497	474.425	3.00%	66.42%
21.0	543.967	22.120	496.546	2.83%	69.52%
22.0	487.822	20.734	517.28	2.65%	72.42%
23.0	438.173	19.430	536.71	2.48%	75.14%
24.0	394.515	18.206	554.915	2.33%	77.69%
25.0	349.306	16.913	571.828	2.16%	80.06%
26.0	309.591	15.553	587.382	1.99%	82.24%
27.0	280.798	14.444	601.826	1.85%	84.26%
28.0	249.255	13.420	615.245	1.72%	86.14%
29.0	203.973	11.858	627.103	1.52%	87.80%
30.0	165.246	9.969	637.072	1.27%	89.20%
31.0	136.767	8.405	645.476	1.07%	90.37%
32.0	114.858	7.209	652.685	0.92%	91.38%
33.0	95.670	6.202	658.887	0.79%	92.25%
34.0	76.847	5.221	664.108	0.67%	92.98%
35.0	64.024	4.375	668.483	0.56%	93.59%
36.0	52.663	3.715	672.199	0.48%	94.11%
37.0	43.585	3.139	675.338	0.40%	94.55%

$\gamma(^{\circ})$	Average I(cd)	Zonal F(lm)	Sum F(lm)	Eff Flux(%)	Eff Sum(%)
38.0	35.918	2.654	677.991	0.34%	94.93%
39.0	29.868	2.245	680.237	0.29%	95.24%
40.0	25.340	1.925	682.162	0.25%	95.51%
41.0	21.785	1.678	683.84	0.21%	95.74%
42.0	18.786	1.474	685.314	0.19%	95.95%
43.0	16.672	1.313	686.628	0.17%	96.13%
44.0	15.106	1.199	687.827	0.15%	96.30%
45.0	13.658	1.105	688.933	0.14%	96.46%
46.0	12.560	1.025	689.958	0.13%	96.60%
47.0	11.587	0.960	690.918	0.12%	96.74%
48.0	10.761	0.903	691.822	0.12%	96.86%
49.0	10.117	0.857	692.679	0.11%	96.98%
50.0	9.451	0.816	693.495	0.10%	97.10%
51.0	8.917	0.777	694.272	0.10%	97.21%
52.0	8.500	0.747	695.02	0.10%	97.31%
53.0	8.105	0.722	695.742	0.09%	97.41%
54.0	7.732	0.698	696.44	0.09%	97.51%
55.0	7.432	0.677	697.117	0.09%	97.60%
56.0	7.125	0.658	697.775	0.08%	97.70%
57.0	6.891	0.641	698.416	0.08%	97.79%
58.0	6.664	0.627	699.042	0.08%	97.87%
59.0	6.467	0.614	699.656	0.08%	97.96%
60.0	6.269	0.602	700.258	0.08%	98.04%
61.0	6.079	0.589	700.847	0.08%	98.13%
62.0	5.918	0.578	701.425	0.07%	98.21%
63.0	5.779	0.569	701.994	0.07%	98.29%
64.0	5.625	0.560	702.554	0.07%	98.36%
65.0	5.516	0.551	703.105	0.07%	98.44%
66.0	5.377	0.543	703.649	0.07%	98.52%
67.0	5.238	0.534	704.183	0.07%	98.59%
68.0	5.128	0.525	704.708	0.07%	98.67%
69.0	5.040	0.519	705.226	0.07%	98.74%
70.0	4.945	0.513	705.739	0.07%	98.81%
71.0	4.843	0.506	706.245	0.06%	98.88%
72.0	4.718	0.497	706.742	0.06%	98.95%
73.0	4.601	0.487	707.23	0.06%	99.02%
74.0	4.514	0.479	707.709	0.06%	99.09%
75.0	4.382	0.470	708.179	0.06%	99.15%

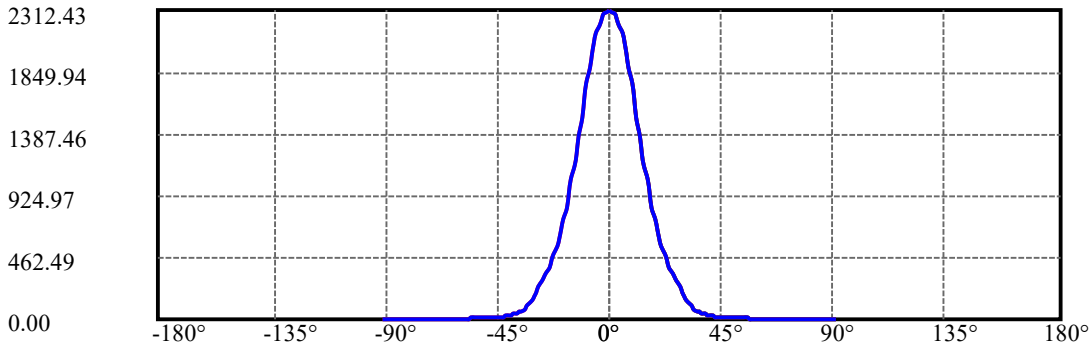
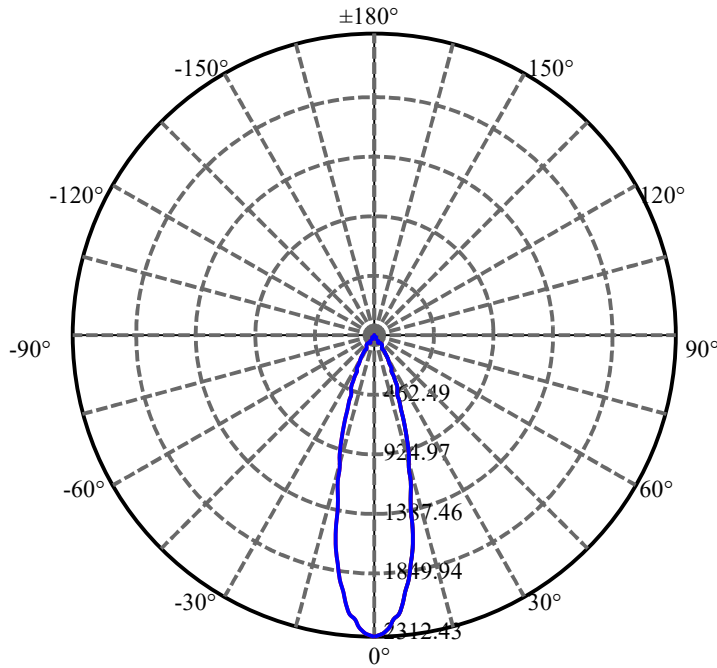
$\gamma(^{\circ})$	Average I(cd)	Zonal F(lm)	Sum F(lm)	Eff Flux(%)	Eff Sum(%)
76.0	4.279	0.460	708.639	0.06%	99.22%
77.0	4.199	0.452	709.091	0.06%	99.28%
78.0	4.097	0.444	709.535	0.06%	99.34%
79.0	3.980	0.434	709.969	0.06%	99.40%
80.0	3.892	0.424	710.393	0.05%	99.46%
81.0	3.811	0.417	710.81	0.05%	99.52%
82.0	3.731	0.409	711.219	0.05%	99.58%
83.0	3.628	0.400	711.619	0.05%	99.63%
84.0	3.563	0.392	712.01	0.05%	99.69%
85.0	3.482	0.384	712.395	0.05%	99.74%
86.0	3.424	0.377	712.772	0.05%	99.80%
87.0	3.372	0.372	713.144	0.05%	99.85%
88.0	3.328	0.367	713.511	0.05%	99.90%
89.0	3.292	0.363	713.874	0.05%	99.95%
90.0	3.270	0.360	714.234	0.05%	100.00%

ZONAL LUMEN SUMMARY

Zone	Lumens	%Lamp	%Fixt
0-30	637.07	81.47%	89.20%
0-40	682.16	87.23%	95.51%
0-60	700.26	89.55%	98.04%
0-90	713.87	91.29%	99.95%
0-120	713.87	91.29%	99.95%
0-180	714.23	91.33%	100.00%
60-90	13.62	1.74%	1.91%
90-120	0.00	0.00%	0.00%
90-130	0.00	0.00%	0.00%
90-150	0.00	0.00%	0.00%
90-180	0.00	0.00%	0.00%
0-24.97	571.39	73.07%	80.00%

ZONAL LUMEN SUMMARY

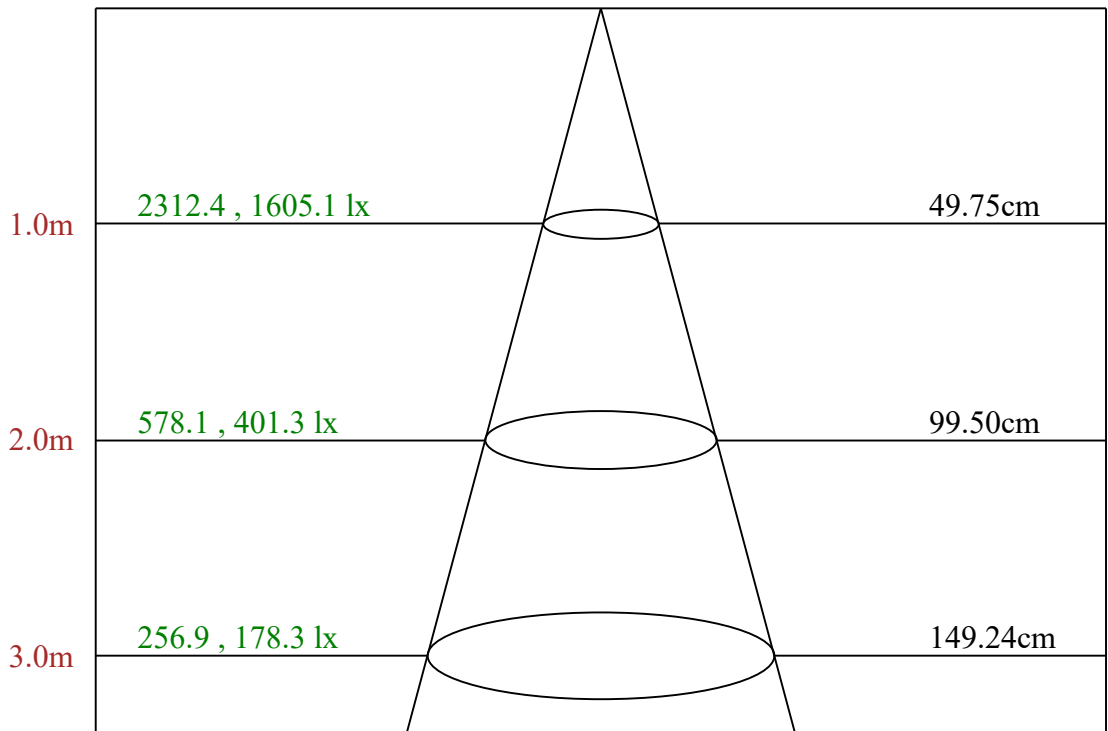
0-10	188.56
10-20	285.86
20-30	162.65
30-40	45.09
40-50	11.33
50-60	6.76
60-70	5.48
70-80	4.65
80-90	3.48
90-100	0.00
100-110	0.00
110-120	0.00
120-130	0.00
130-140	0.00
140-150	0.00
150-160	0.00
160-170	0.00
170-180	0.00



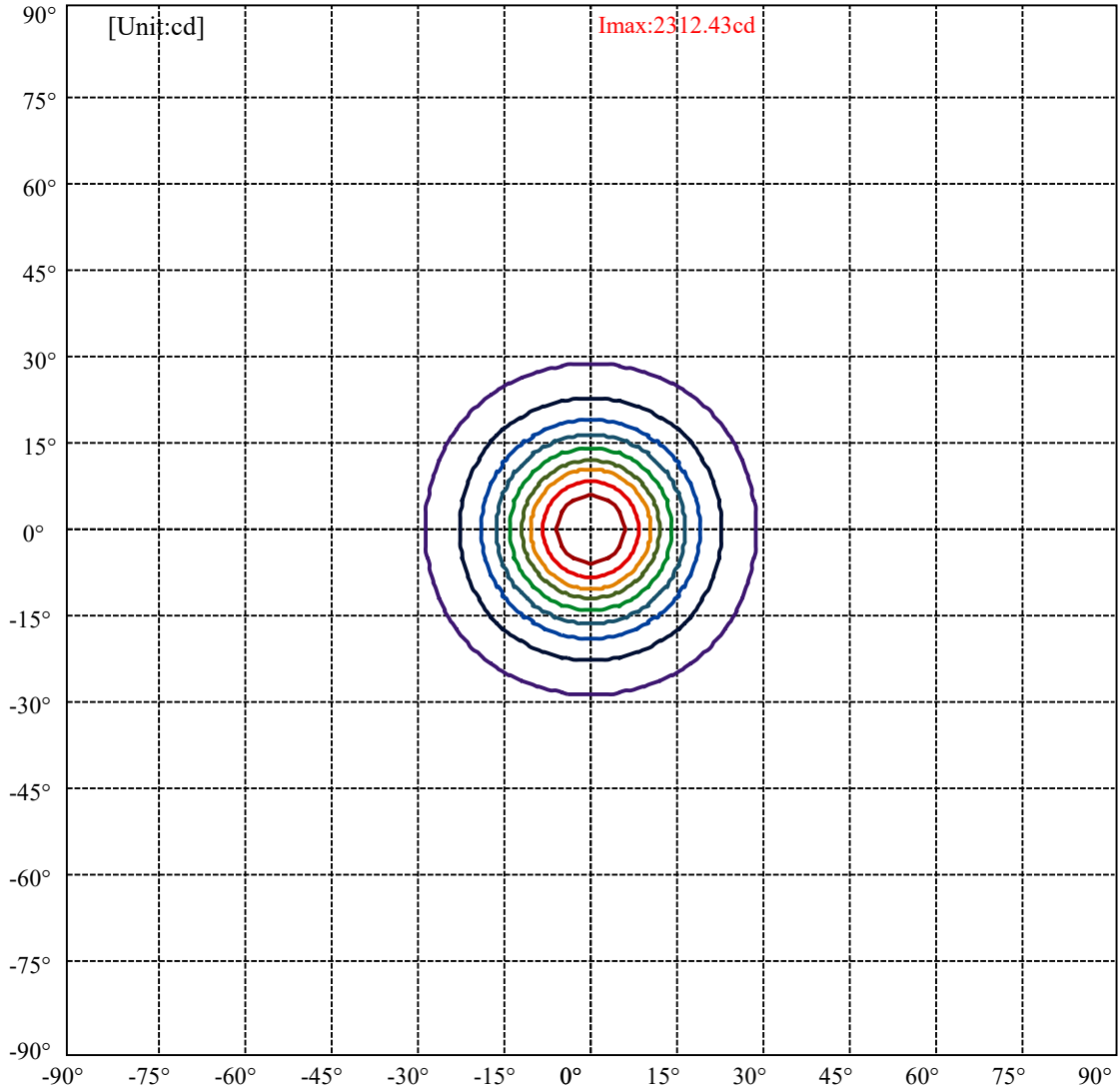
C0(Max): —————
C0/C180: —————
C90/C270: —————

Field angle(10%Imax):C0/180Left:28.4 Right:28.4
:C90/270Left:28.4 Right:28.4

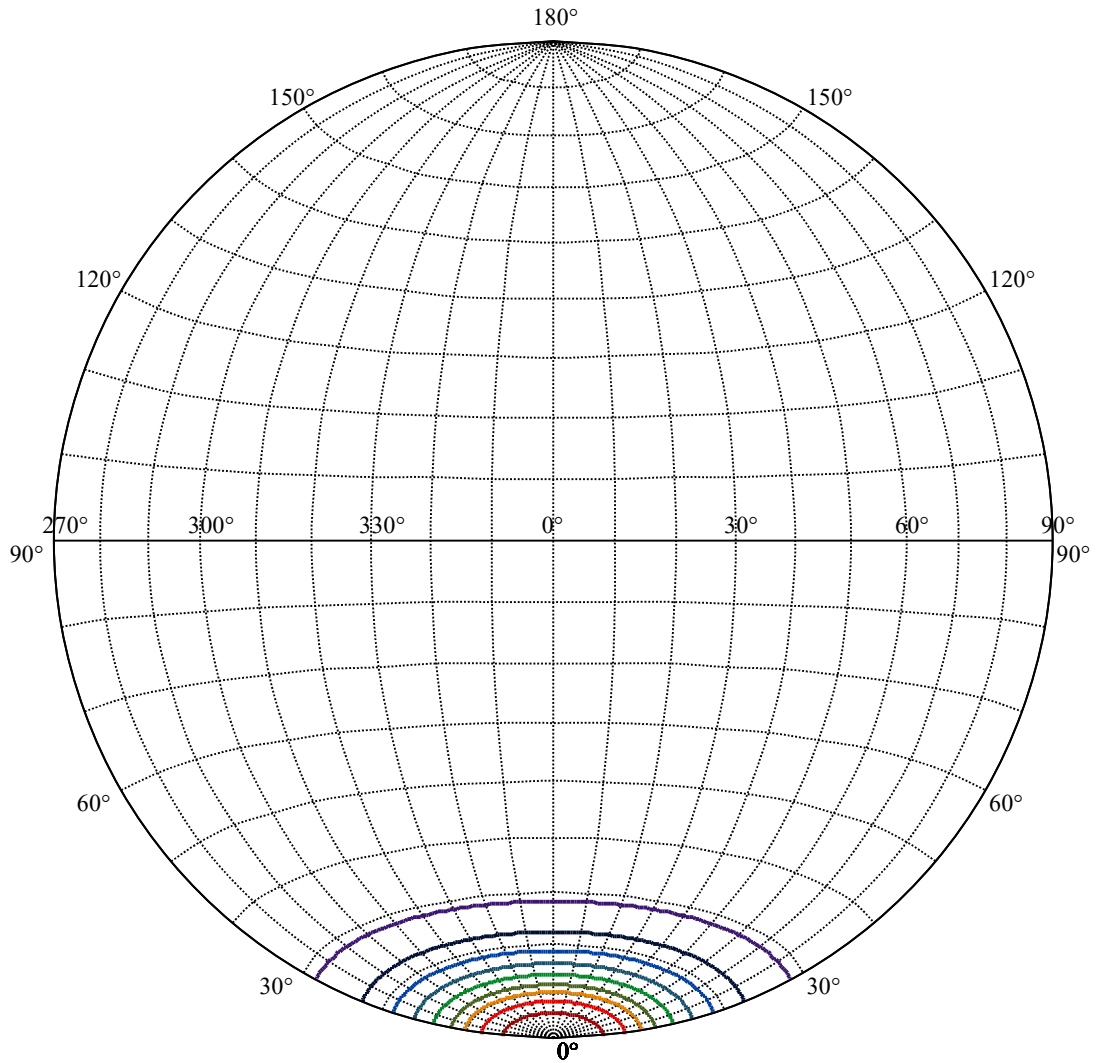
Beam Angle(50%Imax):C0/180Left:13.9 Right:13.9
:C90/270Left:13.9 Right:13.9



Max , Ave Beam angle of C0 plane 27.94



(10%Imax) 231.243	—
(20%Imax) 462.486	—
(30%Imax) 693.729	—
(40%Imax) 924.972	—
(50%Imax) 1156.21	—
(60%Imax) 1387.46	—
(70%Imax) 1618.7	—
(80%Imax) 1849.94	—
(90%Imax) 2081.19	—



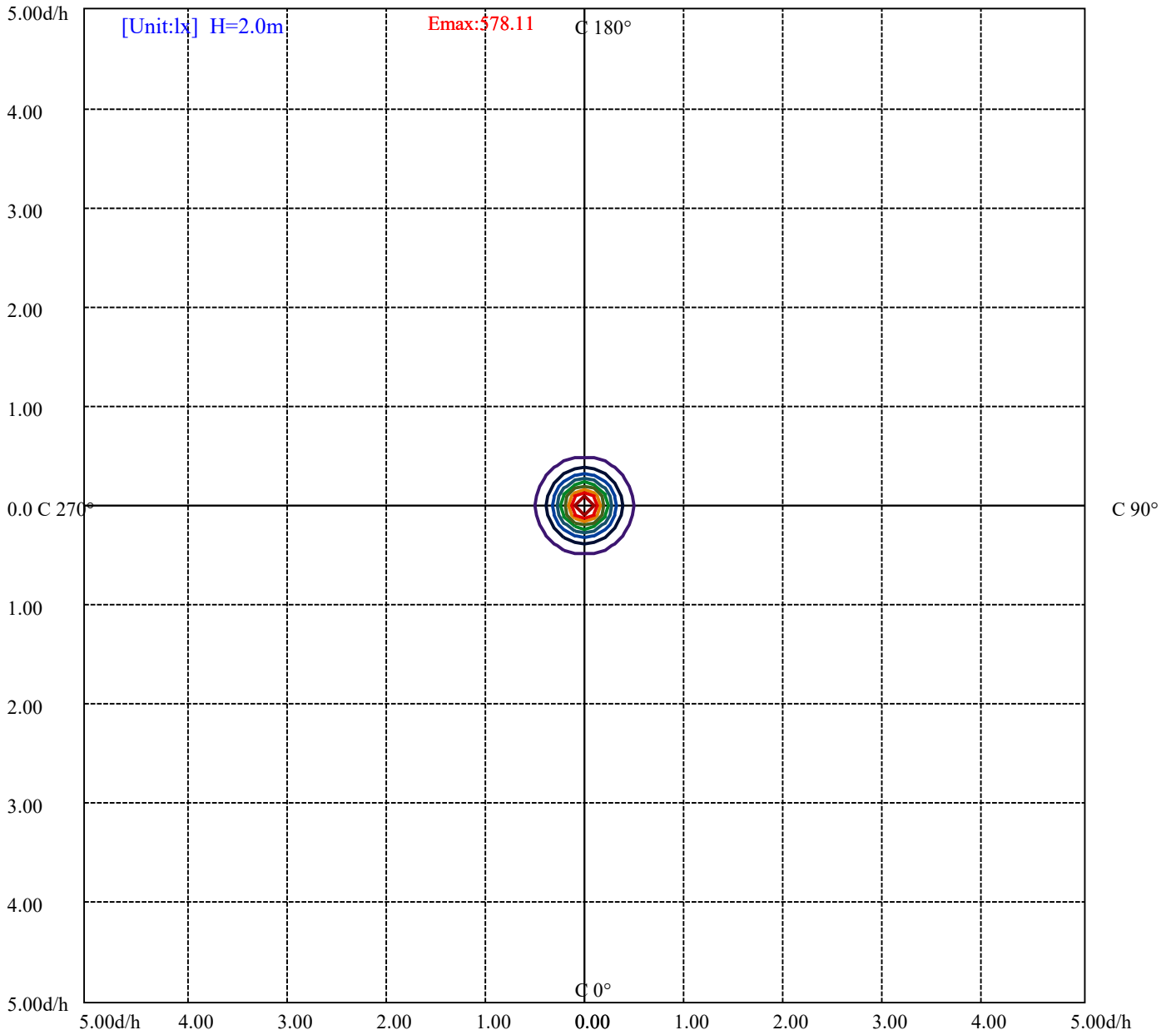
House

[Unit:cd]

Road

Imax:2312.43

(10%Imax) 231.243	—
(20%Imax) 462.486	—
(30%Imax) 693.729	—
(40%Imax) 924.972	—
(50%Imax) 1156.21	—
(60%Imax) 1387.46	—
(70%Imax) 1618.7	—
(80%Imax) 1849.94	—
(90%Imax) 2081.19	—



- (10%Emax) 57.81075
- (20%Emax) 115.6215
- (30%Emax) 173.432
- (40%Emax) 231.2428
- (50%Emax) 289.0525
- (60%Emax) 346.865
- (70%Emax) 404.675
- (80%Emax) 462.485
- (90%Emax) 520.2975

Luminance Limiting Curve(no luminous side)

Luminance Table

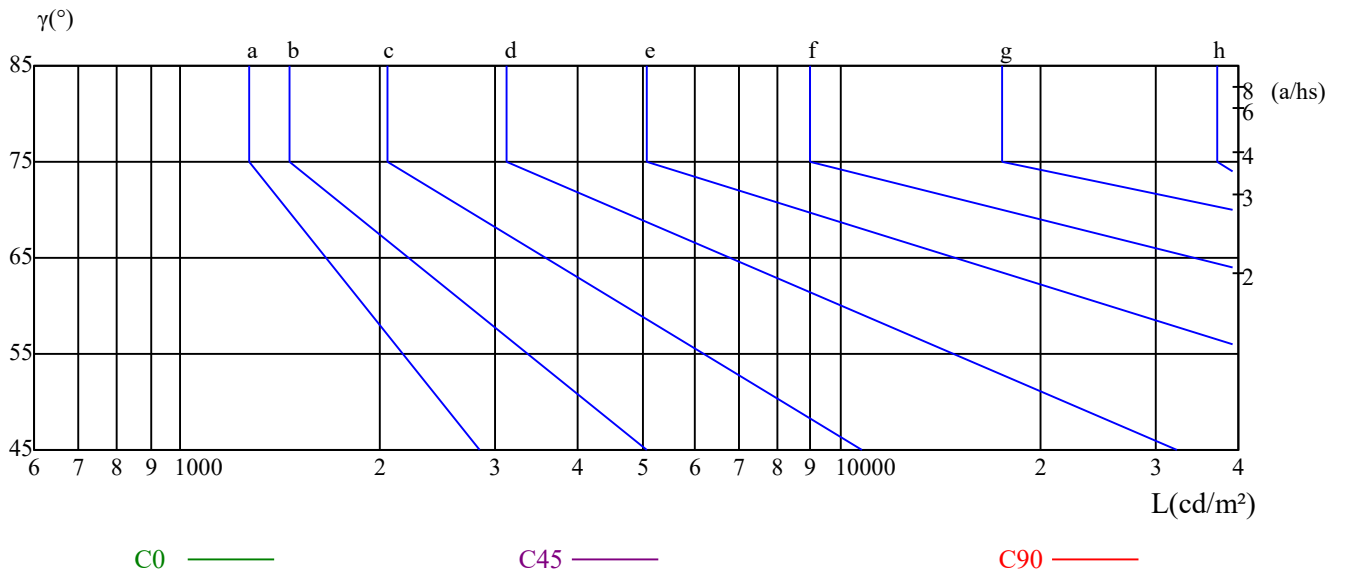
γ	45	50	55	60	65	70	75	80	85
C0	0	0	0	0	0	0	0	0	0
C45	0	0	0	0	0	0	0	0	0
C90	0	0	0	0	0	0	0	0	0

L(Hor)(65)	L(Ver)(65)	L45(65)	L(Hor)(75)	L(Ver)(75)	L45(75)	L(Hor)(85)	L(Ver)(85)	L45(85)
0	0	0	0	0	0	0	0	0

Glare Table

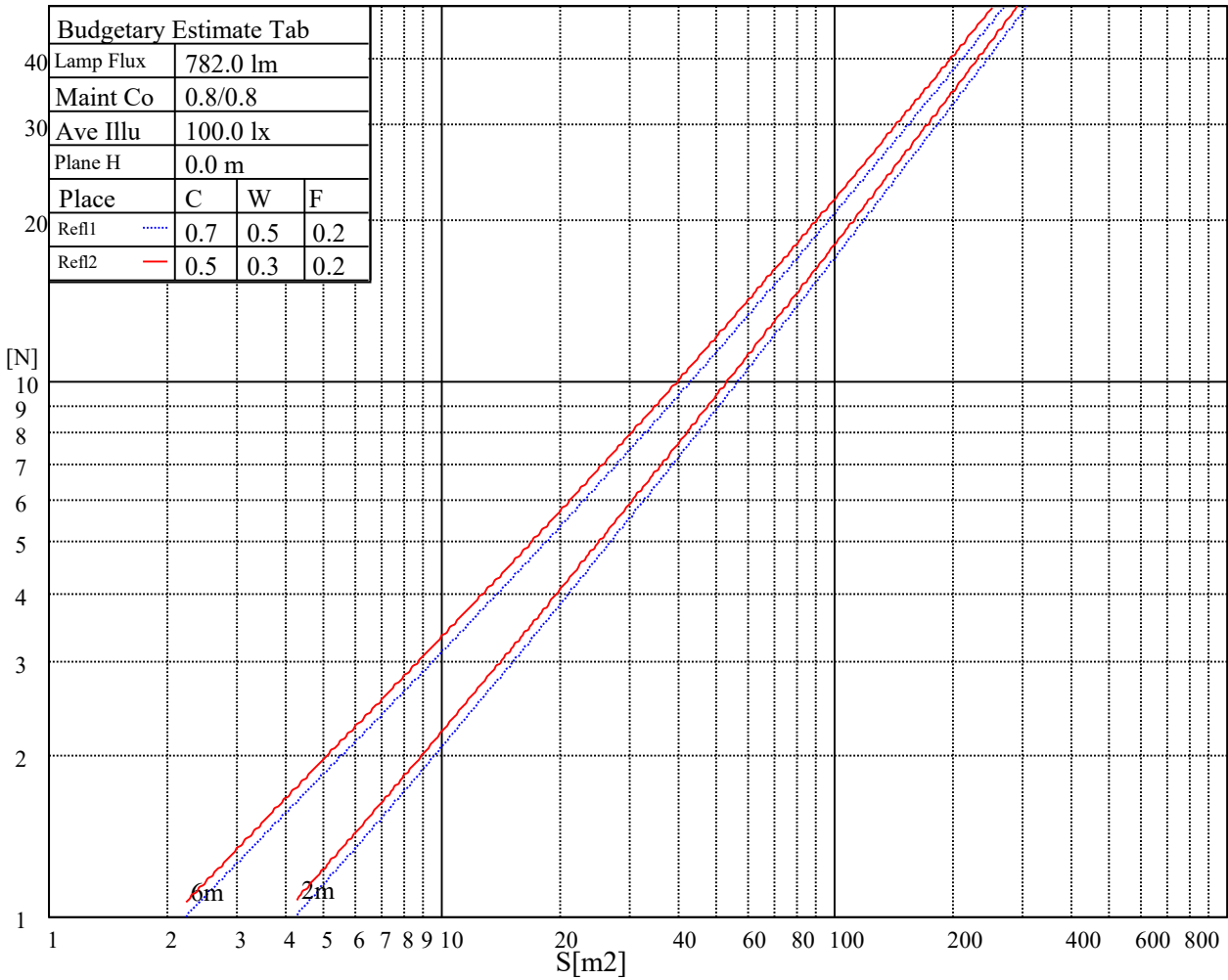
Glare	Quality	Service Values Illuminance(lx)							
1.15	A	2000	1000	500	<=300				
1.5	B		2000	1000	500	<=300			
1.85	C			2000	1000	500	<=300		
2.2	D				2000	1000	500	<=300	
2.55	E					2000	1000	500	<=300
		a	b	c	d	e	f	g	h

Luminance Limiting Curve



Illumination assessment according UGR											
Rf of Ceiling	70	70	50	50	30	70	70	50	50	30	
Rf of Wall	50	30	50	30	30	50	30	50	30	30	
Rf of Floor	20	20	20	20	20	20	20	20	20	20	
Room dimensions		Viewed crosswise					Viewed endwise				
X	Y										
2H	2H	非数字	非数字	非数字	非数字	非数字	非数字	非数字	非数字	非数字	
	3H	非数字	非数字	非数字	非数字	非数字	非数字	非数字	非数字	非数字	
	4H	非数字	非数字	非数字	非数字	非数字	非数字	非数字	非数字	非数字	
	6H	非数字	非数字	非数字	非数字	非数字	非数字	非数字	非数字	非数字	
	8H	非数字	非数字	非数字	非数字	非数字	非数字	非数字	非数字	非数字	
	12H	非数字	非数字	非数字	非数字	非数字	非数字	非数字	非数字	非数字	
4H	2H	非数字	非数字	非数字	非数字	非数字	非数字	非数字	非数字	非数字	
	3H	非数字	非数字	非数字	非数字	非数字	非数字	非数字	非数字	非数字	
	4H	非数字	非数字	非数字	非数字	非数字	非数字	非数字	非数字	非数字	
	6H	非数字	非数字	非数字	非数字	非数字	非数字	非数字	非数字	非数字	
	8H	非数字	非数字	非数字	非数字	非数字	非数字	非数字	非数字	非数字	
8H	12H	非数字	非数字	非数字	非数字	非数字	非数字	非数字	非数字	非数字	
	4H	非数字	非数字	非数字	非数字	非数字	非数字	非数字	非数字	非数字	
	6H	非数字	非数字	非数字	非数字	非数字	非数字	非数字	非数字	非数字	
	8H	非数字	非数字	非数字	非数字	非数字	非数字	非数字	非数字	非数字	
12H	12H	非数字	非数字	非数字	非数字	非数字	非数字	非数字	非数字	非数字	
	4H	非数字	非数字	非数字	非数字	非数字	非数字	非数字	非数字	非数字	
	6H	非数字	非数字	非数字	非数字	非数字	非数字	非数字	非数字	非数字	
	8H	非数字	非数字	非数字	非数字	非数字	非数字	非数字	非数字	非数字	
Variation with the observer position at spacings:											
S = 1.0H	非数字/非数字					非数字/非数字					
S = 1.5H	非数字/非数字					非数字/非数字					
S = 2.0H	非数字/非数字					非数字/非数字					
Standard tables:	BK0					BK0					
Uncorrected UGR	负无穷大					负无穷大					

UGR calculation is based on CIE Publ. 117 ,S/H = 0.25



RHOCC	80			70			50			30			10			0
RHOW	50	30	10	50	30	10	50	30	10	50	30	10	50	30	10	0
RCR	COEFFICIENTS OF UTILIZATION RHOFC=20 CU															
0	1.09	1.09	1.09	1.06	1.06	1.06	1.01	1.01	1.01	0.97	0.97	0.97	0.93	0.93	0.93	0.91
1	1.02	1.00	0.98	1.00	0.98	0.97	0.96	0.95	0.94	0.93	0.92	0.91	0.90	0.89	0.88	0.87
2	0.96	0.93	0.91	0.95	0.92	0.90	0.92	0.90	0.88	0.89	0.87	0.86	0.87	0.85	0.84	0.83
3	0.91	0.88	0.85	0.90	0.87	0.84	0.88	0.85	0.83	0.86	0.83	0.81	0.84	0.82	0.80	0.79
4	0.87	0.83	0.80	0.86	0.82	0.79	0.84	0.81	0.78	0.83	0.80	0.78	0.81	0.79	0.77	0.75
5	0.83	0.79	0.76	0.82	0.78	0.75	0.81	0.77	0.75	0.79	0.76	0.74	0.78	0.76	0.73	0.72
6	0.80	0.75	0.72	0.79	0.75	0.72	0.78	0.74	0.71	0.77	0.73	0.71	0.76	0.73	0.71	0.69
7	0.77	0.72	0.69	0.76	0.72	0.69	0.75	0.71	0.69	0.74	0.71	0.68	0.73	0.70	0.68	0.67
8	0.74	0.69	0.66	0.73	0.69	0.66	0.72	0.69	0.66	0.71	0.68	0.66	0.71	0.68	0.65	0.64
9	0.71	0.67	0.64	0.71	0.67	0.64	0.70	0.66	0.64	0.69	0.66	0.63	0.68	0.65	0.63	0.62
10	0.69	0.64	0.62	0.68	0.64	0.61	0.68	0.64	0.61	0.67	0.64	0.61	0.66	0.63	0.61	0.60

Intensity data(cd)

C/γ(°)	0.0	1.0	2.0	3.0	4.0	5.0	6.0	7.0	8.0
0.0	2320.48	2314.62	2292.38	2263.12	2218.65	2157.20	2099.85	2029.03	1939.49
45.0	2302.33	2319.31	2316.38	2296.48	2268.98	2215.72	2168.90	2111.55	2019.08
90.0	2313.45	2298.24	2273.07	2234.45	2177.68	2124.43	2059.47	1974.02	1852.30
135.0	2313.45	2309.36	2290.04	2262.54	2211.62	2160.71	2098.68	2026.69	1910.82
180.0	2320.48	2306.43	2281.27	2230.94	2177.10	2123.25	2040.15	1958.81	1859.32
225.0	2302.33	2275.41	2239.13	2186.46	2109.21	2043.66	1936.57	1835.91	1722.38
270.0	2313.45	2311.11	2288.87	2259.61	2202.26	2151.93	2068.83	1996.85	1911.40
315.0	2313.45	2297.07	2273.66	2224.50	2173.58	2118.57	2038.98	1951.78	1854.05
360.0	2320.48	2314.62	2292.38	2263.12	2218.65	2157.20	2099.85	2029.03	1939.49
C/γ(°)	9.0	10.0	11.0	12.0	13.0	14.0	15.0	16.0	17.0
0.0	1818.94	1713.01	1595.97	1447.32	1156.35	1156.35	1076.81	970.71	849.34
45.0	1931.30	1830.64	1698.38	1583.68	1465.46	1320.33	1206.21	1100.28	968.02
90.0	1747.54	1637.52	1490.04	1167.52	1167.52	1113.27	1008.52	910.79	804.27
135.0	1810.74	1705.99	1595.38	1449.08	1330.27	1188.65	1082.14	979.14	862.09
180.0	1727.06	1615.86	1490.63	1370.07	1224.35	1116.08	1014.25	915.35	802.40
225.0	1577.24	1458.44	1146.81	1146.81	1119.83	992.78	896.68	805.04	705.84
270.0	1782.07	1670.29	1557.34	1439.13	1293.99	1182.21	1076.29	974.46	856.24
315.0	1748.13	1606.50	1490.63	1291.06	1150.79	1123.46	1017.71	919.21	804.68
360.0	1818.94	1713.01	1595.97	1447.32	1156.35	1156.35	1076.81	970.71	849.34
C/γ(°)	18.0	19.0	20.0	21.0	22.0	23.0	24.0	25.0	26.0
0.0	765.53	693.78	627.71	571.41	506.34	456.94	411.94	371.44	326.09
45.0	873.80	789.53	714.62	630.93	572.99	520.32	471.75	414.98	372.26
90.0	730.42	662.36	597.81	527.00	476.78	431.60	389.64	341.77	304.14
135.0	781.92	711.11	644.98	571.82	517.40	468.24	422.59	369.92	331.88
180.0	721.06	631.52	572.99	519.15	456.53	411.47	368.75	321.93	303.21
225.0	634.85	573.11	520.97	458.41	415.33	364.07	324.57	287.23	244.10
270.0	770.80	691.79	609.28	550.76	496.91	435.47	392.16	351.78	304.96
315.0	724.10	653.17	575.74	522.25	460.28	417.27	374.72	335.39	290.10
360.0	765.53	693.78	627.71	571.41	506.34	456.94	411.94	371.44	326.09
C/γ(°)	27.0	28.0	29.0	30.0	31.0	32.0	33.0	34.0	35.0
0.0	289.10	254.34	213.43	183.35	149.29	125.41	104.64	82.87	68.47
45.0	321.93	302.03	302.03	208.34	170.77	143.67	120.44	96.39	80.12
90.0	267.33	222.27	191.37	163.63	133.55	112.66	90.30	75.20	62.62
135.0	302.62	302.62	209.04	178.90	145.78	123.42	103.82	83.57	69.82
180.0	303.21	213.84	174.92	149.29	126.29	105.69	88.60	71.16	59.46
225.0	211.03	180.95	153.39	123.78	103.70	86.67	72.68	58.46	49.16
270.0	296.18	296.18	197.63	159.42	133.78	111.49	92.99	74.09	61.80
315.0	254.98	221.80	189.96	155.26	130.97	109.85	91.88	73.04	60.75
360.0	289.10	254.34	213.43	183.35	149.29	125.41	104.64	82.87	68.47
C/γ(°)	36.0	37.0	38.0	39.0	40.0	41.0	42.0	43.0	44.0
0.0	56.47	47.05	37.51	31.43	26.69	23.00	19.49	17.32	15.68
45.0	66.66	55.65	44.13	36.81	30.96	26.22	21.83	19.08	16.97
90.0	52.49	44.01	35.64	30.20	26.10	22.82	19.72	17.79	16.27
135.0	58.11	46.29	38.74	32.42	27.33	22.53	19.66	17.38	15.51
180.0	47.93	40.38	34.06	27.56	23.47	20.25	17.21	15.39	13.93
225.0	40.03	34.12	29.26	24.40	21.42	19.08	17.32	15.51	14.28
270.0	51.50	41.08	34.47	29.03	23.64	20.31	17.32	15.39	13.99
315.0	48.11	40.09	33.53	27.10	23.12	20.07	17.73	15.51	14.22
360.0	56.47	47.05	37.51	31.43	26.69	23.00	19.49	17.32	15.68

Intensity data(cd)

C/γ(°)	45.0	46.0	47.0	48.0	49.0	50.0	51.0	52.0	53.0
0.0	14.05	12.93	12.00	11.00	10.30	9.60	9.07	8.66	8.25
45.0	14.86	13.52	12.17	11.29	10.53	9.89	9.25	8.78	8.43
90.0	14.63	13.52	12.29	11.47	10.77	9.95	9.36	8.84	8.43
135.0	13.81	12.70	11.76	10.77	10.12	9.36	8.90	8.49	8.13
180.0	12.76	11.59	10.83	10.12	9.60	9.01	8.54	8.19	7.78
225.0	13.28	12.41	11.59	10.71	10.07	9.42	8.84	8.43	7.96
270.0	12.76	11.65	10.89	10.18	9.60	9.13	8.60	8.19	7.90
315.0	13.11	12.17	11.18	10.53	9.95	9.25	8.78	8.43	7.96
360.0	14.05	12.93	12.00	11.00	10.30	9.60	9.07	8.66	8.25

C/γ(°)	54.0	55.0	56.0	57.0	58.0	59.0	60.0	61.0	62.0
0.0	7.90	7.55	7.26	7.02	6.79	6.50	6.32	6.14	5.97
45.0	7.96	7.67	7.37	7.14	6.85	6.67	6.44	6.20	6.09
90.0	8.02	7.61	7.26	6.96	6.67	6.50	6.32	6.09	5.91
135.0	7.72	7.49	7.20	6.96	6.73	6.55	6.38	6.14	5.97
180.0	7.49	7.20	6.96	6.79	6.55	6.38	6.20	6.03	5.85
225.0	7.61	7.32	6.96	6.73	6.55	6.38	6.14	5.97	5.85
270.0	7.55	7.26	6.96	6.73	6.55	6.32	6.14	6.03	5.85
315.0	7.61	7.37	7.02	6.79	6.61	6.44	6.20	6.03	5.85
360.0	7.90	7.55	7.26	7.02	6.79	6.50	6.32	6.14	5.97

C/γ(°)	63.0	64.0	65.0	66.0	67.0	68.0	69.0	70.0	71.0
0.0	5.79	5.68	5.56	5.38	5.27	5.15	5.09	4.97	4.86
45.0	5.91	5.79	5.62	5.50	5.33	5.27	5.21	5.09	4.97
90.0	5.79	5.62	5.50	5.38	5.27	5.15	5.03	4.97	4.86
135.0	5.85	5.62	5.56	5.44	5.33	5.15	5.09	4.97	4.86
180.0	5.74	5.62	5.44	5.33	5.21	5.09	5.03	4.92	4.86
225.0	5.68	5.56	5.44	5.33	5.15	5.09	4.92	4.86	4.74
270.0	5.74	5.56	5.50	5.33	5.21	5.09	4.97	4.92	4.80
315.0	5.74	5.56	5.50	5.33	5.15	5.03	4.97	4.86	4.80
360.0	5.79	5.68	5.56	5.38	5.27	5.15	5.09	4.97	4.86

C/γ(°)	72.0	73.0	74.0	75.0	76.0	77.0	78.0	79.0	80.0
0.0	4.74	4.68	4.56	4.45	4.33	4.21	4.16	4.04	3.92
45.0	4.80	4.74	4.68	4.51	4.39	4.33	4.21	4.10	3.98
90.0	4.74	4.62	4.51	4.39	4.33	4.21	4.10	3.98	3.92
135.0	4.74	4.62	4.56	4.39	4.33	4.27	4.16	3.98	3.92
180.0	4.68	4.56	4.45	4.33	4.21	4.16	4.04	3.92	3.86
225.0	4.62	4.51	4.39	4.27	4.16	4.10	4.04	3.92	3.86
270.0	4.74	4.56	4.51	4.39	4.27	4.21	4.04	3.98	3.86
315.0	4.68	4.51	4.45	4.33	4.21	4.10	4.04	3.92	3.80
360.0	4.74	4.68	4.56	4.45	4.33	4.21	4.16	4.04	3.92

C/γ(°)	81.0	82.0	83.0	84.0	85.0	86.0	87.0	88.0	89.0
0.0	3.80	3.75	3.63	3.57	3.51	3.39	3.39	3.34	3.28
45.0	3.92	3.86	3.75	3.69	3.57	3.51	3.45	3.39	3.34
90.0	3.86	3.80	3.69	3.57	3.51	3.45	3.39	3.34	3.34
135.0	3.86	3.75	3.63	3.57	3.51	3.45	3.39	3.34	3.34
180.0	3.75	3.69	3.57	3.51	3.45	3.39	3.34	3.34	3.22
225.0	3.75	3.63	3.57	3.51	3.39	3.39	3.34	3.28	3.34
270.0	3.80	3.69	3.63	3.51	3.51	3.39	3.34	3.34	3.28
315.0	3.75	3.69	3.57	3.57	3.39	3.39	3.34	3.28	3.22
360.0	3.80	3.75	3.63	3.57	3.51	3.39	3.39	3.34	3.28

Intensity data(cd)

C/ γ ($^{\circ}$)	90.0
0.0	3.28
45.0	3.28
90.0	3.28
135.0	3.28
180.0	3.28
225.0	3.28
270.0	3.22
315.0	3.28
360.0	3.28